



ارائه یک طرح احراز اصالت سبک وزن امن در رایانش مه

آناهید محسنی کبیر^۱، دکتر مجید بیات^۲، دکتر مهدی علاقه بند^۳، فاطمه حمیدی فشکی^۴

۱- دانشجوی کارشناسی ارشد مخابرات امن و رمزنگاری، دانشگاه آزاد اسلامی واحد علوم و تحقیقات

۲- استادیار گروه کامپیوتر، دانشگاه شاهد

۳- استادیار گروه مخابرات، دانشگاه آزاد اسلامی واحد یادگار امام خمینی

۴- دانشجوی کارشناسی ارشد مخابرات امن و رمزنگاری، دانشگاه آزاد اسلامی واحد علوم و تحقیقات

چکیده

با توجه به افزایش خدمات اینترنتی و حجم بالای اطلاعات تولیدشده و محدودیت‌های موجود در استفاده از پهنای باند انتقال این حجم از اطلاعات به ابر امکان‌پذیر نیست. به همین دلیل نیاز به رایانشی احساس شد تا این محدودیت‌ها را به حداقل برساند. رایانش مه^۳ را می‌توان یک نمونه توزیع‌شده در شبکه نظر گرفت که سرویس‌های محاسباتی را در لبه شبکه در اختیار کاربران (دستگاه‌ها) قرار می‌دهد، رایانش مه به‌عنوان یک مکمل برای رایانش ابری تمامی قابلیت‌های این رایانش از جمله ذخیره‌سازی و پردازش اطلاعات را دارا می‌باشد و این خدمات را با کیفیت بهتری به کاربران ارائه می‌کند. رایانش مه در مقایسه با رایانش ابری دارای عملکرد بهتر با تاخیر زمانی کم‌تری در پردازش و ذخیره‌سازی اطلاعات است. احراز هویت، حفظ حریم خصوصی و به‌طور کلی حفظ امنیت از مهم‌ترین ویژگی‌هایی است که در رایانش مه مورد بررسی قرار می‌گیرند. در این مقاله ابتدا به شرح مختصری از رایانش مه و طرح‌های موجود در رایانش مه می‌پردازیم، سپس با بررسی طرحی که اخیراً در زمینه احراز هویت و مدیریت کلید مطرح شده به نام SAKA-FC [1] ضعف‌های امنیتی موجود در طرح را بیان می‌کنیم، در ادامه نیز یک طرح احراز اصالت سبک وزن جدید به کمک توابع چکیده ساز^۴ و جمع پیمانه‌ای^۵ در رایانش مه ارائه می‌دهیم که طرح ارائه شده تمامی ویژگی‌های امنیتی مورد نیاز در محاسبات مه را برآورده می‌کند. همچنین طرح پیشنهادی را از لحاظ امنیت، سربار مخابراتی و محاسباتی با طرح‌های مشابه مقایسه می‌کنیم.

کلمات کلیدی: رایانش مه، احراز اصالت، مدیریت کلید، گمنامی، ردیابی

¹ Email: anahid.mohsenikabir@srbiau.ac.ir

² *Corresponding author: Email: mbayat@shahed.ac.ir

³ Fog Computing

⁴ Hash function

⁵ XOR



۱. مقدمه

با پیشرفت فناوری و استفاده هرچه بیشتر از اینترنت و با توجه به این که امروزه از اینترنت اشیا^۱ به‌طور گسترده استفاده می‌شود، با در نظر گرفتن این موضوع که اینترنت اشیا در هر زمان و هر مکان در دسترس است و دستگاه‌های هوشمند برای برقراری ارتباط از طریق اینترنت اشیا به یکدیگر متصل می‌شوند و در این میان داده‌هایی با حجم بالا تولید و ارسال می‌شوند از این رو نیاز به فضایی برای ذخیره سازی و پردازش داده‌ها مطرح می‌شود که یکی از محدودیت‌های اینترنت اشیا نداشتن فضای کافی برای ذخیره سازی است. [2] به همین دلیل به خدماتی احتیاج داریم که رسیدن به این نیاز را سهولت بخشند که تاکنون رایانش ابری^۲ نقش مهمی را در تحقق این موضوع ایفا کرده است، رایانش ابری در واقع شامل خدماتی است که کاربران با استفاده از آن بتوانند عملیات محاسباتی خود را بدون دسترسی به نرم‌افزارها و سخت‌افزارهای محاسباتی که عموماً دارای هزینه بالایی هستند و همچنین بدون در نظر گرفتن محدودیت‌های زیرساختی انجام دهند [3]. از آنجایی که ابرها (رایانش ابری) در دسترس عموم قرار دارند، جذاب هستند اما دارای برخی مشکلات از قبیل عدم وجود قابلیت اطمینان^۳، تاخیر زیاد، عدم پشتیبانی از تحرک و عدم آگاهی از مکان قرارگیری^۴ هستند. [4] به همین دلیل برای رسیدن به پردازش سریع‌تر نمونه‌ی دیگری از رایانش توسط شرکت سیسکو^۵ در سال ۲۰۱۲ مطرح شد که به آن رایانش مه گفته می‌شود [5]، رایانش مه محاسبات و پردازش‌ها را در نزدیکی و لبه شبکه انجام می‌دهد که باعث افزایش کارایی و بهبود عملکرد سیستم می‌شود.

رایانش مه برای پردازش داده‌های حجیم و سرویس‌هایی که نیاز به سرعت در پاسخ‌گویی و تاخیر کم دارند در محیط مبتنی بر ابر به بهترین نحو ممکن عمل می‌کند که این شامل شهرهای هوشمند، نظارت بر ساختمان‌های هوشمند، نیازهای اورژانسی که به سلامت بیماران مربوط است و یا خدماتی که نیاز به پاسخ‌گویی سریع دارند، می‌شود. به دلیل این که رایانش مه از رایانش ابری دارای تاخیر کم‌تری است، در شرایطی که نیاز به ارسال و یا پردازش در کوتاه‌ترین زمان را داریم در کنار استفاده از رایانش ابری از رایانش مه نیز کمک می‌گیریم. [6] به طور کلی به دلیل این که پردازش در مه در جایی نزدیک به کاربران و در لبه شبکه اطلاعات را پردازش می‌کند و این موضوع که نیاز نیست داده‌ها برای پردازش حتماً به ابر ارسال شوند زمان لازم برای انجام محاسبات و ارسال داده کاهش می‌یابد. از این رو رایانش مه به پردازش سریع‌تر اطلاعات کمک می‌کند و بار مخابراتی و محاسباتی را نیز کاهش می‌دهد و به کاربران این امکان را می‌دهد تا بتوانند در فضایی مناسب‌تر و امن‌تر، اطلاعات خود را ذخیره و پردازش کنند.

احراز هویت و حریم خصوصی از مهم‌ترین ویژگی‌هایی هستند که قصد داریم در این مقاله به آن‌ها اشاره کنیم، به همین دلیل ابتدا در بخش دوم به بررسی کارهای پیشین در زمینه احراز هویت، یکپارچگی^۶ و حملاتی مانند حمله تکرار^۷، حمله ردیابی^۸ و چند حمله دیگر می‌پردازیم، در بخش سه به جزئیات طرح SAKA-FC [1] اشاره می‌کنیم و سپس در بخش چهارم طرح بهبود یافته که نقص‌های امنیتی در آن برطرف شده است را ارائه و ایرادات مطرح شده در طرح را نیز بررسی می‌کنیم. در بخش پنجم به تحلیل امنیتی طرح اشاره و بررسی می‌کنیم که طرح احراز اصالت سبک وزن در برابر چه حملاتی مقاوم است، در بخش ششم نیز یک نتیجه‌گیری ارائه می‌شود.

¹ Internet of Things (IoT)

² Cloud Computing

³ Reliability

⁴ Location Awareness

⁵ Cisco

⁶ Integrity

⁷ Reply attack

⁸ Traceability



۲. کارهای پیشین

از آنجایی که یکی از ویژگی‌های مهم در رایانش مه احراز هویت و امنیت است و با توجه به این موضوع که رایانش مه اساسا در ارتباط با رایانش ابری معنا پیدا می‌کند و این امکان را برای کاربران و دستگاه‌ها فراهم می‌آورد تا از خدمات و ویژگی‌هایی نظیر ذخیره سازی، پردازش و توزیع اطلاعات در لبه شبکه بهره مند شوند. ابتدا به ویژگی‌های امنیتی اشاره شده در رایانش ابری می‌پردازیم و سپس به بررسی مقالات مرتبط با رایانش مه اشاره می‌کنیم.

با توجه به آن‌چه که در [7] آمده است می‌توان تهدیدات امنیتی مربوط به رایانش ابری را به پنج دسته اصلی تقسیم‌بندی کرد: دسته اول حملات فیزیکی که گم شدن و یا دزیده شدن دستگاه موبایل از جمله این حملات می‌باشد، دسته دوم حملات مبتنی بر برنامه‌ها است مشابه نرم‌افزارهای مخرب، بدافزارها و حریم خصوصی، در دسته سوم به حملات شبکه که حملات جعل^۱، حمله داخلی و انکار سرویس^۲ در این دسته قرار می‌گیرند، اشاره شده است. دسته چهارم تهدیدات مبنی بر شبکه نظیر حمله فیشینگ و بازیابی اطلاعات مرورگرها و در دسته پنجم به دیگر حملات فعال نظیر آسیب‌پذیری پروتکل-ها، دسترسی غیرمجاز و دسترسی به اطلاعات مرکز داده اشاره کرده است. برای رایانش ابری راه‌حل‌های امنیتی بسیاری وجود دارد مانند طرح‌های مبتنی بر کلمه عبور [8] که با توجه به برخی ویژگی‌ها برای استفاده در رایانش مه مناسب نیستند. به‌طور کلی با توجه به بررسی‌های انجام شده در [9] محاسبات مه ویژگی‌هایی نظیر انجام محاسبات در مقیاس بالا و به صورت محلی را دارند، همچنین دارای قابلیت انتقال و جابه‌جایی از یک مکان به مکان دیگر نیز هستند و می‌توان در سیستم‌های حساس به زمان و مکان نیز از آن‌ها استفاده کرد.

مقاله [10] نشان داد که با ارائه رایانش مه مقدار قابل توجهی از ذخیره سازی داده‌ها، محاسبات و ارتباطات در رایانش ابری افزایش یافته است که این رایانش باعث افزایش کارایی و بهبود عملکرد سیستم می‌شود، یک تفاوت مهم و اساسی این است که رایانش ابری تلاش می‌کند تا پردازش و محاسبات را به صورت جهانی و گسترده بهینه سازی کند، در حالی که رایانش در مه سازماندهی و مدیریت را به صورت محلی بهینه سازی می‌کند. محاسبات در مه به دلیل نزدیکی به اشیا و دستگاه‌های هوشمند به صورت متمرکز انجام می‌شوند به همین خاطر برای استفاده در شهرهای هوشمند، خانه‌های هوشمند و به طور کلی زندگی هوشمند مناسب هستند، طرح ESHOPE [11] به تمامی ویژگی‌ها و دلایل استفاده از رایانش مه در زندگی هوشمند اشاره کرده است اما در این طرح به ویژگی‌های امنیتی اشاره‌ای نشده است. در سال ۲۰۱۹ طرحی توسط Traore و Alshahrani [12] ارائه شد که دارای یک معماری جدید مبتنی بر محاسبات مه است، در این مقاله با استفاده از زنجیره توابع چکیده‌ساز یک طرح تبادل کلید سبک وزن با احراز هویت متقابل معرفی شده است که در آن شناسه‌های اصلی کاربران و دستگاه‌ها فقط برای مراجع معتبر قابل تشخیص است و به جای استفاده از شناسه اصلی از شناسه موقت استفاده می‌شود، علاوه بر شناسه‌های موقت از کلیدهای نشست مخفی نیز کمک گرفته می‌شود که این کار امنیت طرح را بهبود می‌بخشد و طرح را در برابر حملاتی مانند حمله داخلی، حمله تکرار، حمله جعل و بسیاری از حملات دیگر مقاوم می‌سازد.

در واقع رایانش مه یک معماری سلسله‌مراتبی را ایجاد می‌کند که محاسبات محلی در لبه شبکه و محاسبات جهانی در ابر صورت می‌گیرند، این مدل از رایانش شامل سه لایه کاربر، مه و ابر است که استفاده از این سیستم به کمک مدیریت شناسه-های مستعار در رایانش در مه یک ارتباط امن و حریم خصوصی را فراهم می‌کند. [13]

در طرح ارائه شده در [14] برای افزایش اطمینان و گمنامی و محرمانگی کاربران و داده‌ها از شناسه‌های مستعار به کمک رمزنگاری هم ریخت^۳ استفاده شده است، یکی از مهم‌ترین مزیت‌های این طرح استفاده از رمزنگاری همومورفیک است که

¹ Impersonation

² Deniable of Service (DoS)

³ Homomorphic encryption



می تواند برای افزایش حفظ حریم خصوصی با کمک رایانش مه و بدون نیاز به رمزگشایی پردازش های لازم را انجام دهد که این کار سرعت پردازش را تا میزان بسیار زیادی افزایش می دهد.

با این که طرح های بسیاری در زمینه توافق کلید مطرح شده است طرح [15] توانسته در یک پروتکل سه طرفه و با کمک تزویج دو خطی^۱ تنها در یک مرحله به کلید نشست مشترک دست پیدا کند اما طرح فوق دارای ضعف هایی نظیر نداشتن امنیت پیشرو^۲ و مقاوم نبودن در برابر برخی حملات فعال بود. J. Xiaoying و همکارانش [16] توانستند با ارائه یک طرح توافق کلید مبتنی بر رایانش مه و با استفاده از خم بیضوی^۳ و تزویج دو خطی به احراز هویت دو طرفه برسند و طرحی را معرفی کردند که در برابر حملاتی چون مردی در میانه و تکرار مقاوم است و همچنین دارای امنیت پیشرو نیز هست. در طرح احراز هویت متقابل [17] و از آن جایی که احراز هویت متقابل یکی از مهم ترین ویژگی ها در رایانش مه است هر کاربر مه و هر گره مه می توانند تنها با ذخیره کردن یک کلید مخفی طولانی مدت و بدون نیاز به یک زیر ساخت کلید عمومی^۴ (PKI) بتوانند یکدیگر را احراز هویت کنند. در مقاله [18] به طور کامل به تهدیدات و چالش های امنیتی اشاره شده است که شامل هشت چالش امنیتی و راه حل هایی برای مقابله با این حملات است و به طور کامل رایانش در مه را در برابر حملاتی همچون حمله مردی در میانه، انکار سرویس و ... بررسی کرده است.

همان طور که Stojmenovic و همکارانش [19] ابتدا تنها به بررسی حمله مردی در میانه به عنوان یکی از ویژگی های امنیتی پرداخته بودند، اما در [20] به جنبه های دیگر احراز هویت، احراز اصالت و حریم خصوصی اشاره کردند. ما نیز در این مقاله با بررسی طرح SAKA [1] نقض های امنیتی موجود را برطرف و طرحی را ارائه می کنیم تا مشکلات امنیتی طرح پیشین که به تازگی ارائه شده است را نداشته باشد.

۳. بررسی طرح SAKA-FC

طرح احراز هویت و مدیریت کلید در رایانش مه شامل سرورهای ابر^۵ (CS)، سرورهای مه^۶ (FS)، دستگاه های هوشمند^۷ (SD)، کاربر (دستگاه موبایل) $U_i(MD_i)$ می باشد که دستگاه موبایل اطلاعاتی که برای احراز هویت لازم است را ذخیره می کند، در این طرح یک مرجع معتبر مورد اعتماد^۸ (TA) نیز وجود دارد که تنها مسئول انجام مرحله ثبت نام است و در مراحل بعدی حضور ندارد. طرح در سه مرحله: ۱. ثبت نام، ۲. مدیریت کلید، ۳. احراز هویت و تولید کلید نشست انجام می شود. برای ارسال اطلاعات بین نهادها در مرحله ۱ و ۲ از کانال امن استفاده شده است و تنها مرحله احراز هویت در یک کانال ناامن (عمومی) انجام می شود، در ادامه به بررسی هریک از مراحل می پردازیم، برای درک بهتر ساختار کلی طرح در شکل ۱ نشان داده شده است و همچنین نمادها و توابع مورد استفاده در طرح نیز در جدول ۱ آورده شده است.

¹ Bilinear Pairing

² Forward Secrecy

³ Elliptic Curve

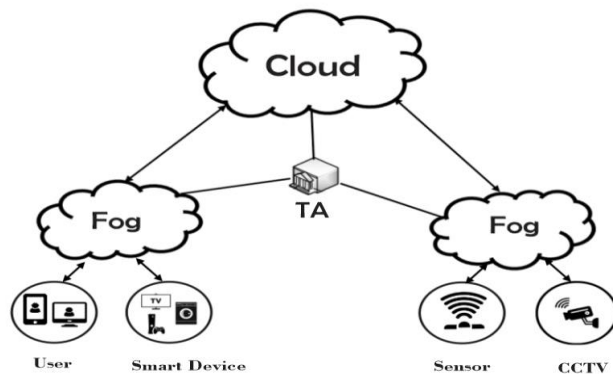
⁴ Public key infrastructure

⁵ Cloud Servers

⁶ Fog Servers

⁷ Smart Devices

⁸ Trusted Authority



شکل ۱- ساختار کلی طرح احراز هویت و مدیریت کلید امن [1]

جدول ۱- نمادها و اختصارات به کار رفته در طرح [1]

نمادها و اختصارات	
مرجع معتبر مورد اعتماد	TA
دستگاه هوشمند، شناسه دستگاه هوشمند	D_k, ID_k
سرور مه، شناسه سرور مه	FS_j, ID_j
سرور ابر، شناسه سرور ابر	ID_i, CS_i
کاربر، دستگاه موبایل کاربر	MD_i, U_i
شناسه، کلمه عبور، بیومتریک کاربر	ID_i, PW_i, BIO_i
شناسه‌های مستعار سرور مه، سرور ابر، دستگاه هوشمند و کاربر	$RID_i, RID_k, RID_i, RID_j$
شناسه‌های موقت سرور مه، سرور ابر، دستگاه هوشمند و کاربر	$TID_i, TID_k, TID_i, TID_j$
کلید مخفی TA	k
عدد تصادفی مخفی کاربر	s
عدد تصادفی دستگاه هوشمند، سرور مه و کاربر	r_u, r_f, r_k
مهر زمانی زمان ثبت‌نام سرور مه، سرور ابر، دستگاه هوشمند و کاربر	$RTS_i, RTS_k, RTS_i, RTS_j$
مهر زمانی فعلی سرور مه، دستگاه هوشمند و کاربر	TS_u, TS_k, TS_f
تعداد دستگاه‌های هوشمند، سرورهای مه و کاربران	n_u, n_f, n_k
حداکثر میزان تاخیر در ارسال پیام	ΔT
کلید خصوصی پارامتر بیومتریک کاربر	σ_i
مقدار عمومی پارامتر بیومتریک کاربر	τ_i
تابع چکیده ساز، جمع پیمانه‌ای، الحاق کردن	$, \oplus, h()$
کلید نشست بین دستگاه هوشمند و کاربر	$SK_{ki} = SK_{ik}$
مولد گروه G	P



۳-۱. ثبت نام

TA مسئول ثبت نام تمامی اجزای شبکه است و تمامی اجزا برای این که بتوانند وارد پروتکل شوند باید توسط TA که یک مرجع قابل اعتماد است بررسی شوند، ثبت نام در چهار مرحله و به ترتیب زیر انجام می‌شود.

مرحله ۱: در ابتدا TA یک شناسه ID_k و یک شناسه موقت TID_k برای هر دستگاه هوشمند D_k انتخاب می‌کند و سپس RID_k و TC_k را تولید می‌کند. در نهایت $\{RID_k, TID_k, TC_k, F(TID_k, y)\}$ در حافظه D_k ذخیره می‌شود.

مرحله ۲: در این مرحله TA برای سرور مه FS_j یک شناسه ID_j و یک شناسه موقت TID_j در نظر گرفته و سپس RID_j و TC_j به ازای هر سرور تولید می‌کند و مقادیر $\{RID_j, TID_j, TC_j, F(TID_j, y)\}$ نیز در حافظه FS_j برای انجام مراحل بعدی ذخیره می‌شود.

مرحله ۳: برای هر سرور ابر CS_1 یک شناسه ID_1 و یک شناسه موقت TID_1 توسط TA انتخاب می‌شود و RID_1 و TC_1 نیز به ازای هر سرور تولید می‌شود، مقادیر $\{(RID_1, TID_1, TC_1), \{G_{j,1}(TID_1, y) | j=1, 2, \dots, n_f\}\}$ را در حافظه CS_1 و $\{G_{j,1}(TID_1, y) | j=1, 2, \dots, n_c\}$ در حافظه FS_j برای این که بتواند هر سرور ابر را شناسایی کند، ذخیره می‌شود.

مرحله ۴: در مرحله آخر ثبت نام کاربر (دستگاه موبایل) $U_i(MD_i)$ یک پارامتر بیومتریک $(\sigma_i, \tau_i) = \text{Gen}(BIO_i)$ ، یک عدد تصادفی مخفی s و یک شناسه ID_i را انتخاب و RID_i را برای خودش تولید می‌کند. سپس کاربر یک کلید خصوصی $d_i \in Z_p^*$ انتخاب و کلید عمومی $P_i = d_i \cdot G$ که مرتبط با آن است را نیز تولید می‌کند و $\{RID_i, P_i\}$ را برای TA ارسال می‌کند، سپس به ازای هر کاربر TC_i را تولید و $\{TC_i, \{(TID_j, \{h(TC_j) | j=1, 2, \dots, n_f\})\}\}$ برای U_i ارسال می‌کند.

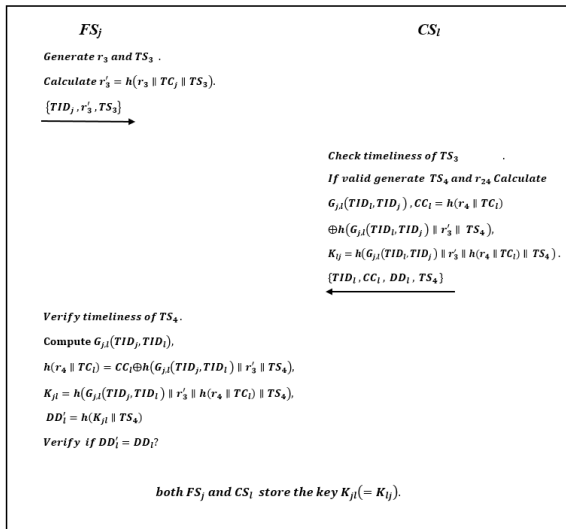
کاربر در نهایت مقادیر $\{RID_i^*, d_i^*, TC_i^*, RPB_i, \{(TID_j, \{TID_j^*, TC_j^* | j=1, 2, \dots, n_f\}), P_i, \tau_i, \text{Gen}(\cdot), \text{Rep}(\cdot), h(\cdot), \text{et}\}\}$ حساب و ذخیره می‌کند و تمامی مقادیر قبلی $\{s, RID_i, d_i, TC_i, \{h(TC_j) | j=1, 2, \dots, n_f\}\}$ را از حافظه خودش پاک می‌کند.

۳-۲. مدیریت کلید

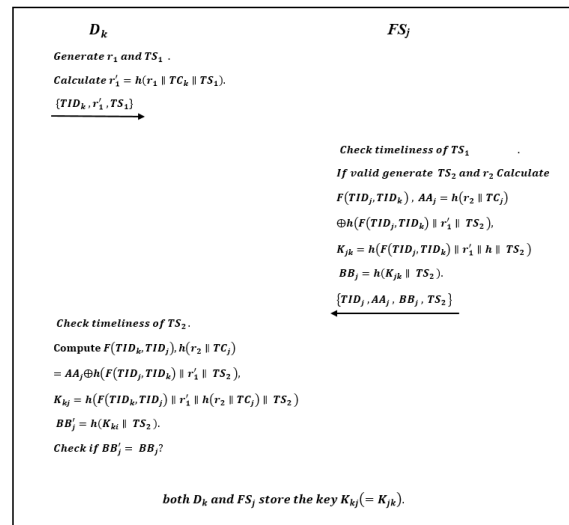
مدیریت کلید در یک کانال امن و در دو مرحله انجام می‌شود، مرحله اول بین D_k و FS_j و مرحله دوم بین FS_j و CS_1 ، در هر دو مرحله نهادها بعد از تایید هویت یکدیگر یک کلید مشترک مخفی برای انجام محاسبات بعدی می‌سازند.

مرحله اول: ابتدا دستگاه هوشمند یک عدد تصادفی r_1 و یک مهر زمانی TS_1 انتخاب می‌کند و برای سرور مه $\{TID_k, r_1, TS_1\}$ را ارسال می‌کند سپس سرور مه بعد از بررسی TS_1 و تایید آن یک r_2 و یک مهر زمانی TS_2 را انتخاب سپس $AA_j, BB_j, F(TID_j, TID_k)$ و کلید K_{jk} را محاسبه می‌کند و $\{TID_j, AA_j, BB_j, TS_2\}$ را برای D_k می‌فرستد. دستگاه هوشمند پس از دریافت پیام مهر زمانی TS_2 را بررسی و در صورت تایید کلید K_{kj} را تولید می‌کند، در نهایت یک کلید مشترک مخفی بین دستگاه هوشمند D_k و سرور مه FS_j ساخته می‌شود. در شکل ۲ مرحله اول مدیریت کلید نشان داده شده است.

مرحله دوم: در این مرحله سرور مه یک عدد تصادفی r_3 و یک مهر زمانی TS_3 انتخاب می‌کند و برای سرور ابر $\{TID_j, r_3, TS_3\}$ را ارسال می‌کند پس از آن سرور ابر بعد از بررسی TS_3 و تایید آن یک r_4 و یک مهر زمانی TS_4 را انتخاب می‌کند و $CC_1, G_{j,1}(TID_j, TID_1)$ و کلید K_{1j} را محاسبه می‌کند و $\{TID_1, CC_1, DD_1, TS_4\}$ را برای FS_j می‌فرستد. دستگاه هوشمند پس از دریافت پیام مهر زمانی TS_4 را بررسی و در صورت تایید کلید K_{1j} را تولید می‌کند. در این مرحله نیز یک کلید مشترک مخفی بین سرور مه FS_j و سرور ابر CS_1 تشکیل می‌شود، مرحله دوم نیز در شکل ۳ به نمایش درآمده است.



شکل ۳- مدیریت کلید بین FS_j و CS_i [1]



شکل ۲- مدیریت کلید بین FS_j و D_k [1]

۳-۳. احراز هویت و توافق کلید

مرحله احراز هویت بین کاربر (دستگاه موبایل) $U_i(MD_i)$ ، سرور مه FS_j و دستگاه هوشمند D_k در یک کانال عمومی انجام می‌شود، کاربر و یا دستگاه موبایل برای شروع احراز هویت PW_i, ID_i و BIO_i را وارد می‌کند، مقادیر $\{TC_i, d_i, RID_i, RPB_i, \bar{O}_i\}$ محاسبه می‌کند سپس TID_j و RID_k و TC_j^* را به عنوان ورودی می‌گیرد، یک عدد تصادفی r_u و یک مهر زمانی TS_u انتخاب می‌کند و مقادیر $\{a_u, R_u, RID'_i, E_u, F_u\}$ همانند آنچه که در شکل ۴ نشان داده شده است، محاسبه می‌کند. سپس پیام ۱ که شامل $\{TS_u, RID'_i, E_u, F_u, a_u, R_u\}$ است را برای سرور مه می‌فرستد.

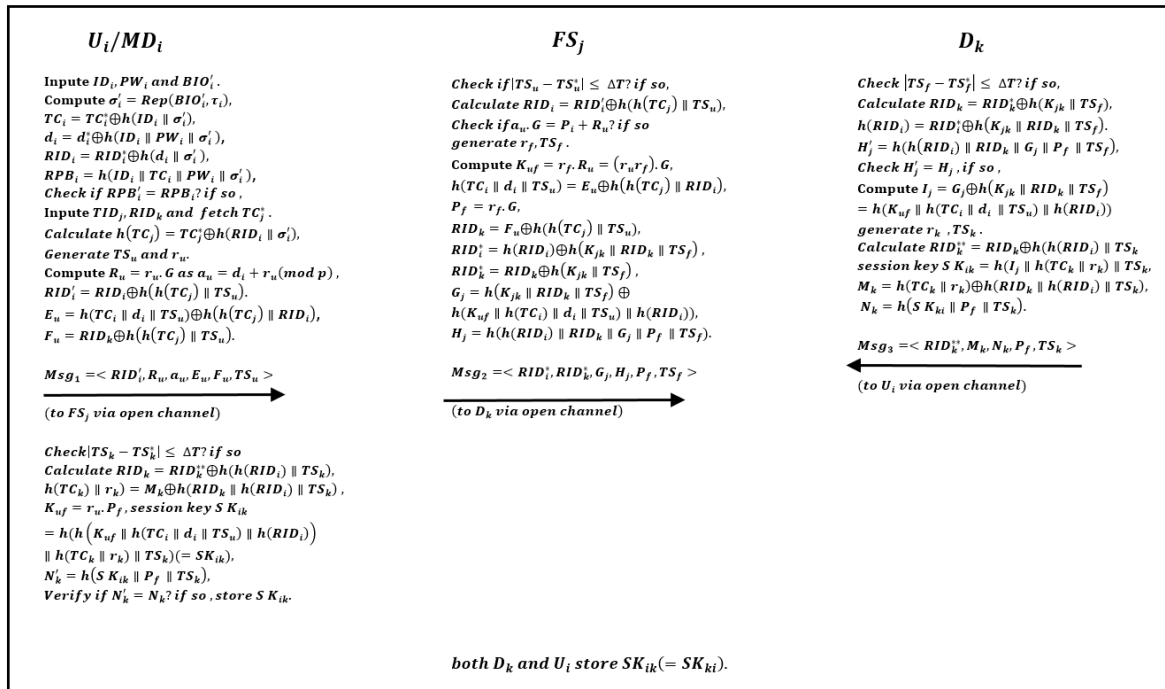
پس از دریافت پیام ۱ ابتدا FS_j مهر زمانی $|TS_u - TS_u^*| \leq \Delta T$ را بررسی می‌کند، بعد از مقایسه a_u و تولید RID_i سرور مه یک عدد تصادفی r_f و یک مهر زمانی TS_f را انتخاب می‌کند و مقادیر $\{K_{uf}, RID_k, RID_k^*, RID_i^*, P_f, G_j, H_j\}$ را با توجه به روابطی که در شکل ۴ آمده، محاسبه می‌کند. سپس پیام ۲ $\{TS_f, RID_i^*, RID_k^*, P_f, G_j, H_j\}$ را از طریق کانال عمومی برای دستگاه هوشمند ارسال می‌کند.

بعد از این که D_k پیام ۲ را دریافت کرد مهر زمانی $|TS_f - TS_f^*| \leq \Delta T$ را بررسی می‌کند، سپس RID_k, RID_i و H'_j را محاسبه و H'_j را با H_j که دریافت کرده است مقایسه می‌کند، در صورت تایید I_j را محاسبه و یک عدد تصادفی r_k و یک مهر زمانی TS_k را نیز انتخاب می‌کند. در نهایت نیز $\{RID_k^*, M_k, N_k\}$ و یک کلید نشست Sk_{ki} را طبق روابط موجود در شکل ۴ محاسبه می‌کند و سپس مقادیر $\{TS_k, RID_k^*, M_k, N_k, P_f\}$ را در قالب پیام ۳ برای U_i ارسال می‌کند.

در آخرین مرحله نیز با دریافت پیام ۳ ابتدا صحت مهر زمانی $|TS_k - TS_k^*| \leq \Delta T$ را بررسی می‌کند. سپس RID_k و $h(TC_k \parallel r_k)$ و یک کلید نشست Sk_{ki} را مطابق روابط ذکر شده در شکل ۴ محاسبه می‌کند و در نهایت نیز N'_k را محاسبه و N'_k را با N_k دریافت شده، مقایسه می‌کند.

پس از این که تمامی مراحل به درستی انجام شد U_i و D_k یک کلید نشست می‌سازند تا بتوانند در مراحل بعدی به جای استفاده از کلید اصلی خود از کلید نشست Sk_{ki} کمک بگیرند.

¹ Session key



شکل ۴- مراحل احراز هویت و توافق کلید نشست بین U_i و D_k [1]

۳-۴. بررسی امنیتی

در طرح SAKA-FC [1] از کلید نشست استفاده شده است که سبب می‌شود طرح دارای امنیت پیشرو باشد و در صورت لو رفتن یک کلید نشست امنیت طرح همچنان حفظ شود. در هر مرحله از یک مهر زمانی جدید استفاده می‌شود و اعتبار مهر زمانی نیز قبل شروع محاسبات بررسی می‌شود که این کار سیستم را در برابر حمله تکرار و حمله انکار سرویس مقاوم می‌کند. طرح دارای گمنامی نیز هست زیرا در هیچ مرحله‌ای از شناسه کاربر و یا دیگر نهادها استفاده نشده و در پیام‌های ارسالی از شناسه مستعار و شناسه موقت استفاده شده است. اما برخلاف آن چه که ادعا شده طرح در برابر حمله ردیابی مقاوم نیست زیرا برای تولید کلید نشست از مقدار $di.G$ استفاده می‌شود که یک مقدار ثابت است و به راحتی از روی پیام ۱ قابل محاسبه است. همچنین طرح در مقابل حمله دستگاه هوشمند سرقت شده نیز آسیب‌پذیر است زیرا $\{RID_k, TID_k, TC_k, F(TID_k, y), K_{jk}\}$ در داخل دستگاه ذخیره می‌شود و اگر مهاجم پیام ۲ را دریافت کند به راحتی می‌تواند با اطلاعاتی که در اختیار دارد یک کلید نشست معتبر تولید کند به همین دلیل طرح در برابر حمله دستگاه هوشمند سرقت شده نیز آسیب‌پذیر است.

۴. طرح بهبود یافته

با بررسی‌های انجام شده بر روی طرح SAKA-FC [1] به این نتیجه رسیدیم که برخلاف آن چه که در آنالیزهای امنیتی به آن اشاره شده است طرح دارای ضعف‌های امنیتی است و در برابر ۱. حمله ردیابی^۱ و ۲. حمله دستگاه هوشمند سرقت شده^۲ آسیب‌پذیر است از این رو با اعمال تغییراتی در طرح توانستیم علاوه بر رفع این آسیب‌پذیری‌ها، سربار مخابراتی و

¹ Traceability Attack

² Stolen Smartcard Attack

محاسباتی را نیز تا حد امکان افزایش ندهیم. طرح بهبود یافته همانند طرح اصلی شامل سه مرحله است که در ادامه به بررسی اجمالی هر مرحله می‌پردازیم و سپس به طور مختصر اشاره می‌کنیم که اعمال هر تغییر چه نقشی در بهبود امنیت داشته است.

۴-۱. مرحله ثبت نام

در طرح بهبود یافته ابتدا برای اطمینان از این که تمامی اجزا معتبر هستند مرحله ثبت نام انجام می‌شود و تفاوت آن این است که در مرحله ۱ دستگاه هوشمند D_k به جای ذخیره کردن مقادیر $\{RID_k, TID_k, TC_k, F(TID_k, y)\}$ یک عدد تصادفی مخفی m به عنوان کلید خصوصی انتخاب می‌کند که در دستگاه ذخیره نمی‌شود. با کمک روابط ۲، ۳ و ۴ که در زیر آمده است مقادیر $\{RID_k^*, TID_k^*, TC_k^*, F(TID_k, y)\}$ را جایگزین و مقادیر قبلی را از حافظه دستگاه پاک می‌کنیم.

$$TC_k^* = TC_k \oplus h(ID_k || m) \quad (1)$$

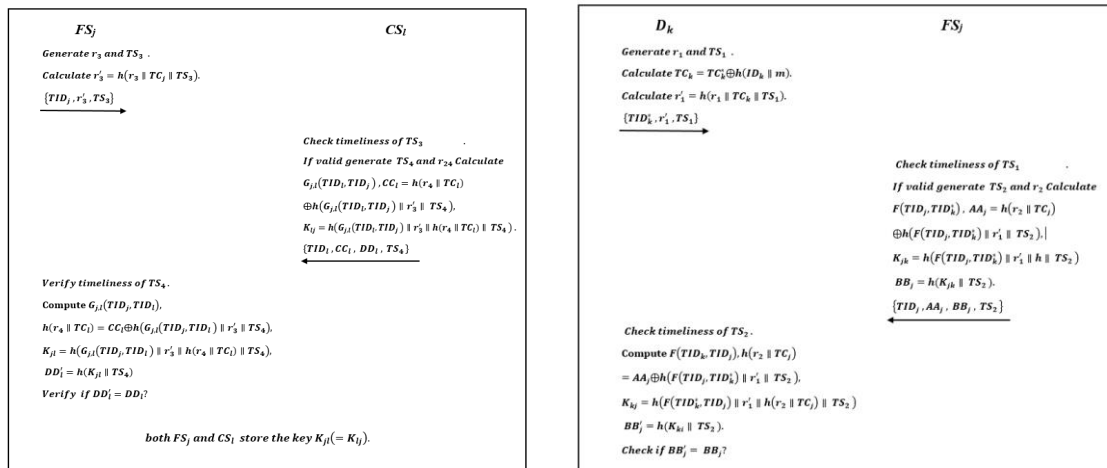
$$RID_k^* = RID_k \oplus h(ID_k || m) \quad (2)$$

$$TID_k^* = TID_k \oplus h(ID_k || m) \quad (3)$$

مرحله ثبت نام کاربر U_i ، سرور مه FS_j و سرور ابر CS_i مانند طرح قبلی انجام می‌شود و بدون تغییر باقی می‌ماند زیرا ثبت نام توسط TA انجام می‌شود و به مقادیر ذخیره شده در دستگاه هوشمند ارتباطی ندارند.

۴-۲. مرحله مدیریت کلید

مدیریت کلید همانطور که گفته شد در یک کانال امن و در دو مرحله انجام می‌شود، مرحله اول بین D_k و FS_j ، مرحله دوم بین FS_j و CS_i انجام می‌شود. مرحله اول و دوم با اعمال تغییرات در شکل ۵ و ۶ نشان داده شده است.



شکل ۶- مدیریت کلید بین FS_j و CS_i

شکل ۵- مدیریت کلید اصلاح شده بین D_k و FS_j

از آن جایی که تغییرات اعمالی تنها بر روی دستگاه هوشمند انجام شده است، در شکل ۵ می‌بینیم که ابتدا به کمک رابطه ۱ مقدار TC_k را به دست می‌آوریم و به جای ارسال TID_k نیز TID_k^* در کانال ارسال می‌شود و در انتها نیز پس از این که یک کلید مشترک بین D_k و FS_j ساخته شد D_k به جای ذخیره کلید K_{kj} با کمک رابطه ۴ کلید K_{kj}^* را ذخیره می‌کند و FS_j همان کلید K_{jk} را در حافظه خود ذخیره می‌کند، اما مدیریت کلید بین FS_j و CS_i تغییری



نکرده است و مشابه طرح پیشین می‌باشد.

$$K_{kj}^* = K_{kj} \oplus h(ID_k || m) \quad (۴)$$

۴-۳. احراز هویت و توافق کلید

همانند آن چه که گفته شد این مرحله از طرح در یک کانال عمومی و بین کاربر (دستگاه موبایل) $U_i(MD_i)$ ، سرور مه FS_j و دستگاه هوشمند D_k انجام می‌شود ولی سرور مه در تولید کلید نشست نقشی ندارد و تنها مسئول برقراری ارتباط و ارسال پیام‌ها بین کاربر و دستگاه هوشمند است از این رو نیاز به محاسبات سنگینی همچون توزیع دو خطی نداریم. تفاوت ایجاد شده در این قسمت همان‌طور که در شکل ۷ مشاهده می‌شود استفاده از یک عدد تصادفی است که کاربر یک عدد تصادفی x_i انتخاب می‌کند و برای محاسبه a_{ii} از آن استفاده می‌کند سپس در پیام ۱ علاوه بر ارسال $\{RID_i', R_{ii}, a_{ii}, E_{ii}, F_{ii}, TS_{ii}\}$ ، x_i و y_i را نیز برای FS_j ارسال می‌کند تا بتواند محاسبات لازم را انجام دهد. در رابطه ۵ و ۶ نحوه انجام محاسبات آورده شده است.

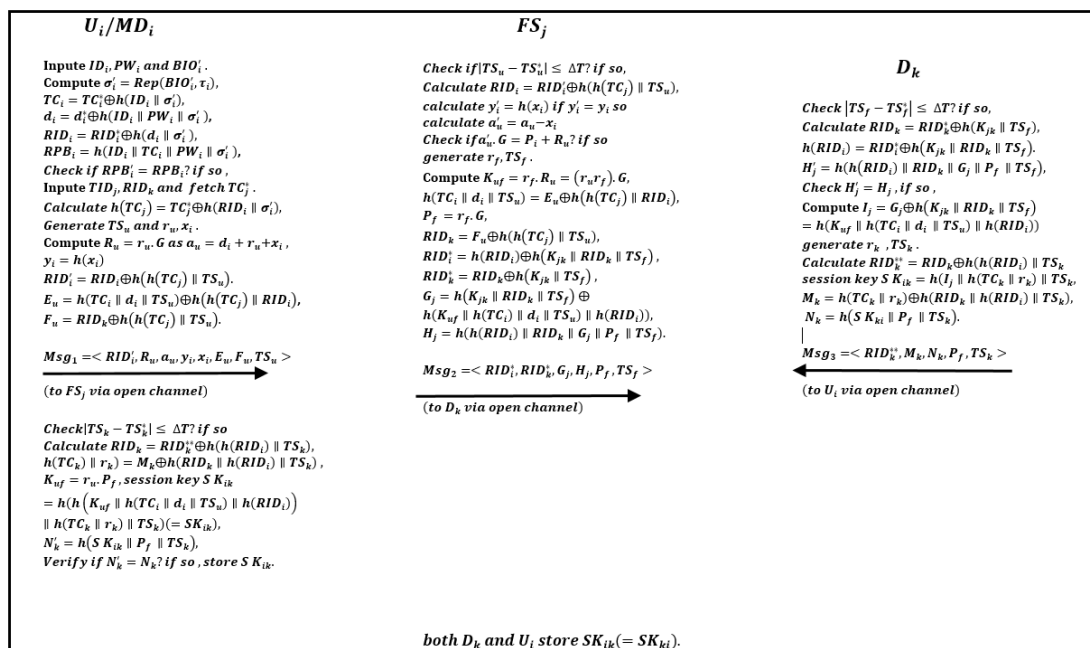
$$a_{ii} = d_i + x_i \quad (۵)$$

$$y_i = h(x_i) \quad (۶)$$

پس از دریافت پیام ۱ ابتدا FS_j، $|TS_{ii} - TS_{ii}^*| \leq \Delta T$ را بررسی می‌کند، سپس با استفاده از رابطه ۷ y_i' را محاسبه و با y_i که از U_i دریافت کرده است مقایسه می‌کند و در صورتی که مقدار یکسانی داشته باشند، مقادیر بعدی را محاسبه می‌کند.

$$y_i' = h(x_i) \quad (۷)$$

بقیه مراحل تغییری نکرده و مانند آن چه که بررسی شد انجام می‌شود.



شکل ۷- مراحل احراز هویت و توافق کلید نشست اصلاح شده بین U_i و D_k



۴-۴. بررسی حملات پیشنهادی

یکی از حملاتی که طرح در برابر آن مقاوم نبود حمله ردیابی است، به دلیل این که مقدار $d_i.G$ همواره یک مقدار ثابت است مهاجم می‌تواند به راحتی با استفاده از a_{ii} که بر روی کانال ارسال می‌شود و G که یک پارامتر عمومی است $d_i.G$ را حساب کند و با قرار دادن آن در روابط بین تراکنش‌ها یک ارتباط ایجاد کند. از این رو برای این که طرح در برابر حمله ردیابی مقاوم شود، کاربر در هر مرحله برای تولید یک کلید نشست جدید یک عدد تصادفی انتخاب و طبق آن چه که در روابط ۵ و ۶ گفته شده این عدد تصادفی را با d_i جمع کرده و چکیده آن را نیز با کمک تابع چکیده‌ساز یک طرفه محاسبه می‌کند. این کار سبب می‌شود که برای هر کلید نشست جدید یک عدد تصادفی دیگر انتخاب شود و مهاجم نتواند ارتباطی بین کلیدهای نشست برقرار کند و طرح نیز در برابر حمله ردیابی آسیب‌پذیر نباشد. پس از بررسی حمله ردیابی، حمله دستگاه هوشمند سرقت شده را بررسی می‌کنیم.

عامل اصلی در حمله سرقت D_k این موضوع بود که تمامی مقادیری که بعد از ثبت نام با TA و پس از ایجاد یک کلید مشترک با FS_j انجام شده است $\{RID_k, TID_k, TC_k, K_{jk}\}$ را در حافظه خودش ذخیره می‌کند. طبق روابط انجام شده در ۱، ۲، ۳ و ۴ دستگاه هوشمند با انتخاب یک کلید خصوصی m و به کمک تابع چکیده ساز یک طرفه برای انجام مراحل بعدی مقادیر $\{RID_k^*, TID_k^*, K_{kj}, TC_k^*\}$ را به جای مقادیر اصلی ذخیره می‌کند اما برای انجام پروتکل ابتدا در هر مرحله ابتدا مقدار اصلی را حساب می‌کند و در پروتکل قرار می‌دهد. از این رو با سرقت دستگاه هوشمند و از آن جایی که مهاجم به کلید m و به مقادیر $\{RID_k, TID_k, TC_k, K_{jk}\}$ دسترسی ندارد، طرح ارائه شده در برابر حمله سرقت دستگاه هوشمند مقاوم است.

۴-۵. مقایسه سربرار مخابراتی، محاسباتی و امنیتی طرح

در این مرحله طرح احراز اصالت امن سبک وزن با طرح‌های دیگری مانند طرح Li و همکارانش [21]، طرح Sun و همکارانش [22]، طرح Li و همکارانش [23]، طرح Hu و همکارانش [24] و طرح $SAKA-FC$ [1] را از لحاظ ویژگی‌های امنیتی، مخابراتی و محاسباتی بررسی می‌کنیم. در جدول ۲ ویژگی‌های امنیتی طرح احراز اصالت امن و پنج طرح دیگر مقایسه شده است.

جدول ۲- مقایسه ویژگی امنیتی

ویژگی‌های امنیتی	۱	۲	۳	۴	۵	۶	۷	۸
طرح Li و همکارانش [21]	—	√	—	—	—	√	√	—
طرح Sun و همکارانش [22]	√	√	—	—	—	√	√	—
طرح Li و همکارانش [23]	√	—	—	—	—	—	√	—
طرح Hu و همکارانش [24]	√	√	—	√	—	—	—	—
طرح $SAKA-FC$ [1]	√	√	—	√	—	√	√	√
طرح احراز اصالت امن	√	√	√	√	√	√	√	√

پی‌نوشت: ۱. احراز هویت متقابل، ۲. گمنامی، ۳. حمله کارت هوشمند سرقت شده، ۴. حمله تکرار، ۵. حمله ردیابی، ۶. حمله داخلی، ۷. توافق کلید، ۸. اثبات امنیتی به کمک AVISPA



برای بررسی سربار محاسباتی میزان سربار محاسباتی توابعی مانند جمع پیمانه‌ای را ناچیز در نظر می‌گیریم و سربار توابعی مانند تابع چکیده‌ساز، خم بیضوی، توابع تولید کننده پارامترهای بیومتریکی، توابع رمزنگاری و رمزگشایی را محاسبه می‌کنیم. در جدول ۳ طرح از نظر سربار محاسباتی بررسی شده و زمانی که برای انجام این محاسبات نیاز داریم نیز آورده شده است. با توجه به مقادیر آورده شده در جدول طرح احراز اصالت امن سبک وزن در مقایسه با طرح تغییر چندانی نداشته اما ویژگی‌های امنیتی بیش‌تری را مطابق آن‌چه در جدول ۲ آمده دارا می‌باشد.

جدول ۳- مقایسه سربار محاسباتی

طرح احراز اصالت امن	طرح SAKA-FC [1]	طرح Hu و همکارانش [24]	طرح Li و همکارانش [23]	طرح Sun و همکارانش [22]	طرح Li و همکارانش [21]	نهادها
$17T_h+2T_{ecm}+1T_{ef}$	$16T_h+2T_{ecm}+1T_{ef}$	-	$6T_h+2T_{ecm}$	$3T_h+4T_{ecm}$	$1T_{enc-ibe}+1T_{sig-ibe}$	کاربر (دستگاه موبایل) $U_i(MD_i)$
$10T_h+3T_{ecm}$	$10T_h+3T_{ecm}$	$2T_{exp}+2T_{pke}+1T_{pkd}$	-	-	-	سرور مه (گره مه) $FS_j(FN)$
-	-	$2T_{exp}+1T_{pke}+2T_{pkd}$	$7T_h+3T_{ecm}+4T_{sed}$	$4T_h+6T_{ecm}+4T_{eca}$	$1T_{dec-ibe}+1T_{ver-ibe}$	سرور ابر $CS_i(SP/MS)$
$9T_h$	$9T_h$	-	-	-	-	دستگاه هوشمند D_k
$36T_h+5T_{ecm}+1T_{ef}$	$35T_h+5T_{ecm}+1T_{ef}$	$4T_{exp}+3T_{pke}+3T_{pkd}$	$13T_h+5T_{ecm}+4T_{sed}$	$7T_h+10T_{ecm}+4T_{eca}$	$1T_{enc-ibe}+1T_{sig-ibe}+1T_{dec-ibe}+1T_{ver-ibe}$	هزینه کلی
396.45 ms	395.95 ms	7308 ms	356.68 ms	677.75 ms	243 ms	تخمین زمانی

برای محاسبه سربار مخابراتی تعداد پیام‌هایی که در مرحله احراز هویت و تولید کلید نشست در طرح احراز اصالت امن سبک وزن ارسال شده است را محاسبه می‌کنیم، در این مرحله پیام ۲،۱ و ۳ ارسال می‌شود که با تعداد پیام‌های ارسال شده در طرح SAKA-FC [1] تفاوتی ندارد اما در پیام ۱ مقدار x_i و y_i نیز ارسال می‌شود به همین دلیل تعداد بیت‌های ارسال شده افزایش یافته است. در جدول ۴ طرح از نظر سربار مخابراتی بررسی شده و تعداد بیت‌های ارسال شده آورده شده است.

جدول ۴- مقایسه سربار مخابراتی

مجموع تمامی بیت‌ها	مجموع تمامی پیام‌ها	طرح‌های مورد بررسی
۱۴۲۸۰	۲	طرح Li et al
۲۶۸۸	۲	طرح Sun et al
۴۱۶۰	۴	طرح Li et al
۷۱۶۰	۳	طرح Hu et al
۲۸۱۶	۳	طرح SAKA-FC
۳۱۰۴	۳	طرح احراز اصالت امن



۵. تحلیل امنیتی طرح

- مقاوم در برابر حمله تکرار: همان‌طور که اشاره شد تمامی نهادها در هر مرحله از یک مهر زمانی استفاده می‌کنند و بعد از ارسال هر پیام نیز اعتبار مهر زمانی با کمک ΔT بررسی می‌شود به همین دلیل مهاجم نمی‌تواند از مهر زمانی مجدداً استفاده کند و طرح ارائه شده در برابر حمله تکرار مقاوم است.
- مقاوم در برابر حمله دزدیده شدن دستگاه هوشمند: طبق بررسی انجام شده در بخش ۴-۴ اگر دستگاه هوشمند مقادیر اصلی شناسه موقت، شناسه مستعار و کلید را ذخیره نکند و به جای آن $\{RID_k^*, TID_k^*, K_{kj}, TC_k^*\}$ را ذخیره کند، طرح در برابر حمله دزدیده شدن دستگاه هوشمند مقاوم می‌شود.
- مقاوم در برابر حمله داخلی: با فرض این‌که مهاجم RID_i و P_i را در اختیار داشته باشد و بخواهد به جای کاربر وارد سیستم شده و به یک کلید مشترک برسد، برای پیدا کردن ID_i به کلید مخفی کاربر یعنی S نیاز دارد که ذخیره نشده است، با این‌که کاربر P_i و G را در اختیار دارد نمی‌تواند d_i را محاسبه کند زیرا در تولید آن از خم بیضوی استفاده شده است $P_i = d_i \cdot G$ ، نتیجه می‌گیریم طرح در مقابل حمله داخلی مقاوم است.
- گمنامی: از آنجایی‌که در تمامی مراحل به جای استفاده از شناسه اصلی نهادها از شناسه‌های مستعار $\{RID_i, RID_k, RID_l, RID_j\}$ و شناسه‌های موقت $\{TID_i, TID_k, TID_l, TID_j\}$ استفاده می‌شود و در تولید این شناسه‌ها از توابع چکیده ساز یک طرفه استفاده شده است نمی‌توان به شناسه اصلی دست پیدا کرد و طرح گمنامی را حفظ می‌کند.
- مقاوم در برابر حمله جعل کاربر: فرض می‌کنیم مهاجم بخواهد پیام ۱ را به جای کاربر تولید کند ابتدا یک مهر زمانی و عدد تصادفی جدید انتخاب می‌کند، می‌تواند R_{ii} را تولید کند اما برای تولید $\{E_{ii}, F_{ii}, a_{ii}\}$ نیاز به مقادیر $\{RID_i, d_i, TC_i\}$ دارد و از آنجایی‌که کاربر این مقادیر را ذخیره نمی‌کند، مهاجم قادر به تولید پیام ۱ نیست و ثابت می‌شود طرح در برابر حمله جعل کاربر مقاوم است.
- مقاوم در برابر حمله ردیابی: همان‌طور که در بخش ۴-۴ اشاره شد با کمک عدد تصادفی x_i می‌توان آسیب‌پذیری طرح در برابر حمله ردیابی را رفع کرد.
- اثبات امنیتی به کمک AVISPA: برای تحلیل و ارزیابی مرحله احراز هویت و تولید کلید و بررسی امنیتی طرح به کمک نرم‌افزار AVISPA نیاز داریم. برای این‌که بتوان از این نرم‌افزار استفاده کرد ابتدا تعاریف و مقدمات لازم برای هر نهاد را به صورت جداگانه تعریف می‌کنیم. در شکل ۸ مشخصات کاربر U_i آورده شده است، در شکل ۹ و ۱۰ نیز به ترتیب مشخصات سرور مه FS_j و دستگاه هوشمند D_k به تفکیک تعریف شده است. از آنجایی‌که در نرم‌افزار AVISPA نمی‌توانیم تمامی حملات را بررسی کنیم تنها به بررسی حمله تکرار و حمله مردی در میانه اشاره می‌کنیم، نتیجه طرح که به کمک $CL-AtSe^1$ و $OFMC^2$ بررسی شده است در شکل ۱۱ نشان داده شده و می‌توان دید که طرح در برابر هر دو این حملات مقاوم است.

¹ CL-based Model-Checker

² On-the-Fly Model-Checker



```

role user (Ui, TA, FSj, Dk : agent, H: hash_func,
SKuita : symmetrickey, Snd, Rev: channel(dy))
played by Ui
def=
local State: nat,
S, Di, IDi, RIDi, Pi, PWi, BIOi, Xi, Yi, P, G, K, IDj, IDk: text,
RTSi, TIDj, TSu, Ru, Rul, Au, RIDi1, RTSj, Eu, Fu: text, RTSk,
TSk, Kjk, Rk, Fk, Rf, text, F: hash_func
coast spl, sp2, sp3, sp4, sp5, ui_fsj_ru, ui_fsj_tsu,
dlc ui_rk, dk ui_tsk : protocol_id
init State := 0
transition
% Login and authentication phases
1. State = 0 A Rcv(start) = 1>
% User registration phase
State' := 1 A S' := newO A Di' := newO
A RIDi1 := H(S.EDi) A Pi' := F(Di'.G)
% Send registration request to the TA securely
A Snd({RIDV.Pi'} SKuita)
A secret((IDi,S',Di',PWLBI Oi), spl, {Ui})
% Receive registration reply from the TA securely
2. State = 1 A Rcv({1.1(H(SIDi)K.RTSi).TIDj,
H(H(K.RTVIDj)) SKuita) = 1>
State' := 2 A secret({K.RTSi',RTSj'}, sp2, {TA})
A secretaIDD, sp3, (TA,FSj)
A secret({Kjk}, sp4, (FSj,Dk)) A secret({IDk}, sp5, (TA,Dk)) %
Login & authentication phases
A TSu' := new() A Ru' := new()
A Rul' := F(Ru'.G) A Au' := F(Di'.Xi.Ru'.P)
A Xi := new() A Yi := H(Xi)
A Ft1Di1' := xor(H(S'.IDi), H(H(H(K.RTSj'.IDj)).TSu')) A
Eu' := xor(H(H(H(S%1Di).K.RTSiDi'.TSu'),
H(H(H(K.RTSr.IDj))H(S'.IDi)))
A Fu' := xor(H(K.IDk),H(H(H(K.RTSjUDj)).TSu')) %
Send message Msg 1 to FSj publicly
A Snd(RIDi1' Ru I' Au' Eu' Fu' Xi Yi TSul)
% Ui has freshly generated the values ru and TSu for FSj A
witness(Ui, FSj, uLfsj_ru, Ru')
A witness(Ui, FSj, ui_fsj_tsu, TSu')
% Receive message Msg3 from Dk publicly
3. State = 2 A Rcv(xor(H(K.IDk),H(H(H(S'IDB).TSV)),
xor(H(H(K.RTSk'.IDk)Rle), H(H(K.IDk)H(H(S'IDi).TSk),
H(H(H(F(RP.F(Ru'O)),H(H(S'.IDi).K.RTSi').Dr.TSu')),
H(H(S'.IDi)).H(H(K.RTSk'.IDk).Rk').TSk').
F(Rf.G).TSIC).F(Rf.G).TSk')=1>
% Ui's acceptance of the values rk and Tsk generated for Ui by Dk State'
:= 3 A request(Dk, Ui, dk ui_rk, Rk')
A request(Dk, Ui, dk ui_tsk, Tsk')
end role

```

شکل ۸- مشخصات کاربر Ui

SUMMARY	SUMMARY
SAFE	SAFE
DETAILS	DETAILS
BOUNDED_NUMBER_OF_SESSIONS	BOUNDED_NUMBER_OF_SESSIONS
PROTOCOL	TYPED_MODEL
C:\progra-1\SPANN\testsuite	PROTOCOL
'results\auth.if	C:\progra-1\SPANN\testsuite
GOAL	'results\auth.if
as_specified	GOAL
BACKEND	as_specified
OFMC	BACKEND
COMMENTS	CL—AtSe
STATISTICS	STATISTICS
ParseTime: 0.00s	Analysed: 8 states
SearchTime: 13.53s	Reachable: 0 states
VisitedNodes: 1432 nodes	Transition: 0.60 seconds
Depth: 8 plies	Computation: 0.00 seconds

شکل ۱۱- تحلیل نتایج شبیه‌سازی

```

role fogsever (Ui, TA, FSj, Dk : agent, H: hash_func,
Sad, Rev: channel(dy))
played_by FSj
def=
local State: nat,
PW, BIOi, S, Di, IDi, G, TSu, Ru, Rul: text,
F: hash_func, K, RTSi, RTSj, P, IDj, TSf, Mk, Rf, Pf: text,
RIDi2, Kjk, RIDk, Kuf, Gj, Hj: text
coast spl, sp2, sp3, sp4, sp5, ui_fsj_ru, ui_fsj_tsu,
fsj_dk rf, fsj_dk tsf: protocol_id
init State := 0
transition
% Login and authentication phases
% Receive message Msg1 from Ui via public channel
1. State = 0 A Rcv(xor(H(S'.IDi), H(H(H(K.RTSj'.IDj)).TSu'))).F(Ru'.G),
F(Di'.Ru').Di'.TSu'), H(Xi), Au'1 := F(Au'.Xi)
H(H(H(K.RTV.IDj)).H(S'.IDi)))
xor(H(K.IDk),H(H(H(K.RTSj'.IDj)).TSu')).TSul = 1>
State' := 3 A secret({IDi,S',Di',PWi,BIOi}, spl, {UM
A secret({K.RTSi',RTSj'}, sp2, {TA}) A secret({IDj}, sp3, (TA,FSj))
A secret({Kjk}, sp4, (FSj,D1)}) A secret({IDk}, sp5, (TA,Dk))
A TSf := new() A Rf := new() A Pf := F(Rf.G)
A RIDi2' := xor(H(H(S'.IDi),H(Kjk).H(K.Mok).TSf))
A RIDk1' := xor(H(K.IDk),H(Kjk).TSf)) A Kuf := F(Rf.F(Ru'.O))
A Gj' := xor(H(Kjk).H(K.IDk).TSf),H(Kuf.H(H(H(S'.IDi),
K.RTSi').Di'.TSu')).H(H(S'.IDi)))
A Hj' := H(H(H(S'IDi)).H(K.IDk).Gy.Pf.TSf)
% Send message Msg2 to Dk via public channel
A Snd(RIDi2'.RIDk1'.Gj'.Hj'.Pf.TSf)
% FSj has freshly generated the values rf and TSf for Dk
A witness(FSj, Dk, fsj_dk_rf, Rf)
A witness(FSj, Dk, fsj_dk_tsf, TSf)
% FSj's acceptance of the values ru and TSu generated for PSj by Ui
A request(Ui, FSj, ui_fsj_ru, Ru')
A request(Ui, FSj, ui_fsj_tsu, TSu')
end role

```

شکل ۹- مشخصات سرور مه FSj

```

role smartdevice (Ui, TA, FSj, Dk : agent, H, Imli_fine,
Sad, Rev: channel(dy))
played_by Dk
def=
local State: nat,
S, Di, IDi, G, IDk, K, Tsk, Kjk: text, F: hash_func,
RTSi, TSu, Rf, Ru, TSf, Kuf, Rk, Ij, RIDk2: text,
Mk, RTSk, Nk, SICi, PWi, BIOi, RTSj, IDj: text
coast spl, sp2, sp3, sp4, sp5, fsj_dk_rf, fsj_dk tsf,
dk ui_rk, dk ui_tsk: protocolLid
Mit State := 0
transition
% Login and authentication phases
% Receive message Msg2 from FSj via public channel
1. State = 0 A Rcv(xor(H(H(S'.100),H(Kjk).H(IC.IDk).TSF)),
xor(H(K.IDk),H(Kjk).TSP)),
xor(H(Kjk).H(K.IDk).TSP),H(ICuf.H(H(H(S'.IDi),
K.RTSi').DP.TSu')).H(H(S'.11Di))).H(H(H(S'.1Di)),
H(K.IDk).xor(H(Kjk).H(K.IDk).TSP).H(F(Rf.F(Ru'.O)),
H(H(H(S'.1D0).K.RTSi').DP.TSul).H(H(S'IDB))),
F(Rf.G).TSO.F(RP.G).TSP)=1>
State' := 4 A secretaDi.S',DP,PWLBI Oi}, spi, {Ui})
A secret({1C.RTSP.RTSy 1, sp2, {TA}) A secret({IDj}, sp3, (TA,FSj))
A secret({Kjk}, sp4, {FSj,Dk}) A secret({IDk}, sp5, (TA,Dk))
A Rk' := new() A Tsk' := new()
A Ij' := H(F(Rf.F(Ru'.G)),H(H(H(S'.100).K.RTSi'),
Di'.TSu')).H(H(S'.IDi)))
A RIDk2' := xor(H(K.IDk),H(H(H(S'.1Di)).TS10)
A SKki' := H(Ir.H(H(K.RTSk'.IDk).Rk').TSk')
A Mk' := xor(H(H(K.RTSk'.IDk).Rk1,
H(H(K.Mk).H(H(S'.1D0).Tskl)
A Nk' := H(SKki'.F(Rf.G).TSk')
% Send message Msg3 to Ui via open channel
A Snd(RIDk2'.MIC.NIc'.F(Rf.G).TSk')
% Dk has freshly generated the values rk and Tsk for Ui
A witness(Dk, Ui, dk ui_rk, Rk')
A witness(Dk, Ui, dk ui_tsk, Tsk')
% Dk's acceptance of the values rf and TSf generated for Dk by FSj
A request(FSj,Dk,fsj_dk_rf, Rf)
A request(FSiDk,fsj_dk_tsf, TSP)
end role

```

شکل ۱۰- مشخصات دستگاه هوشمند Dk



۶. نتیجه‌گیری

رایانش مه به عنوان یک رایانش سریع‌تر در کنار رایانش ابری از نیازهای ضروری در استفاده از اینترنت اشیا می‌باشد. در این مقاله یک طرح احراز اصالت سبک وزن امن مبتنی بر توابعی نظیر تابع چکیده ساز و جمع پیمانهای پیشنهاد گردید. طرح از نظر ویژگی‌های امنیتی، سربار محاسباتی و مخابراتی در بخش ۴-۵ بررسی شده و مشاهده می‌شود در مقایسه با طرح‌های دیگر دارای سربار محاسباتی و مخابراتی بالایی نمی‌باشد. همان‌طور که گفته شد طرح ارائه شده در برابر حملات شناخته شده‌ای همچون حمله ردیابی، حمله کارت هوشمند سرقت شده، حمله تکرار و بسیاری از حملات دیگر مقاوم است و دارای احراز هویت و گمنامی نیز می‌باشد. برای اثبات امنیتی طرح ابتدا در بخش ۵ طرح را در برابر حملات مختلفی که بیان شد، بررسی کردیم و سپس به کمک نرم‌افزار AVISPA نیز امنیت رسمی^۱ طرح بررسی شده است. به طور کلی طرح احراز اصالت سبک وزن امن نسبت به سایر طرح‌ها دارای ویژگی‌های امنیتی بیش‌تری می‌باشد و سربار محاسباتی و مخابراتی آن نیز نسبت به طرح‌های مشابه کم‌تر است.

۷. مراجع

- [1] M. Wazid, A. Kumar Das, N. Kumar and A. V. Vasilakos, "Design of secure key management and user authentication scheme for fog computing services," *Future Generation Computer Systems*, vol. 91, pp. 475-492, 2019.
- [2] Y. Yang, L. Wu, G. Yin, L. Li and H. Zhao, "A Survey on Security and Privacy Issues in Internet-of-Things," *IEEE INTERNET OF THINGS JOURNAL*, vol. 4, no. 5, pp. 1250 - 1258, 2017.
- [3] Z. Fu, K. Ren, J. Shu, X. Sun and F. Huang, "Enabling Personalized Search over Encrypted Outsourced Data with Efficiency Improvement," *IEEE Transactions on Parallel and Distributed Systems*, vol. 27, no. 9, pp. 2546 - 2559, 2015.
- [4] S. Basudan, X. Lin and K. Sankaranarayanan, "A Privacy-preserving Vehicular Crowdsensing based Road surface Condition Monitoring System Using Fog Computing," *IEEE Internet of Things Journal*, 2017.
- [5] R. Mahmud and R. Buyya, "Fog Computing: A Taxonomy, Survey and Future Directions," *Technology, Communications and Computing*, pp. 103-130, 2017.
- [6] A. V. Dastjerdi and R. Buyya, "Fog Computing: Helping the Internet of Things Realize Its Potential," *Computer*, vol. 49, no. 8, pp. 112-116, 2016.
- [7] S. S. Vikas, K. Pawan, A. K. Gurudatt and G. Shyam, "Mobile cloud computing: Security threats," in *International Conference on Electronics and Communication Systems (ICECS)*, Coimbatore, India, 2014.
- [8] M. Kumar, "A New Secure Remote User Authentication Scheme with Smart Cards," *International Journal of Network Security*, vol. 11, no. 2, pp. 88-93, 2010.

¹ Formal Security



- [9] S. Khan, S. Parkinson and Y. Qin, "Fog computing security: a review of current applications and security solutions," *Journal of Cloud Computing: Advances, Systems and Applications*, vol. 6, no. 19, 2017.
- [10] M. Mukherjee, R. Matam, L. Shu, L. Maglaras, M. A. Ferrag, N. Choudhury and V. Kumar, "Security and Privacy in Fog Computing: Challenges," *IEEE Access*, vol. 5, pp. 19293 - 19304, 2017.
- [11] J. Li, J. Jin, D. Yuan, M. Palaniswami and K. Moessner, "EHOPES: Data-centered Fog platform for Smart Living," in *International Telecommunication Networks and Applications Conference (ITNAC)*, Sydney, NSW, Australia, 2015.
- [12] M. Alshahrani and I. Traore, "Secure mutual authentication and automated access control for IoT smart home using cumulative Keyed-hash chain," *Journal of Information Security and Applications*, vol. 45, pp. 156-175, 2019.
- [13] J. Kang, R. YU, X. Huang and Y. Zhang, "Privacy-Preserved Pseudonym Scheme for Fog Computing Supported Internet of Vehicles," *IEEE TRANSACTIONS ON INTELLIGENT TRANSPORTATION SYSTEMS*, 2017.
- [14] H. Wang, Z. Wang and J. Domingo-Ferrer, "Anonymous and secure aggregation scheme in fog-based public cloud computing," *Future Generation Computer Systems*, vol. 78, pp. 712-747, 2017.
- [15] H. A. Al Hamid, S. M. Mizanur Rahman, M. S. Hossain, A. Almogren and A. Alamri, "A Security Model for Preserving the Privacy of Medical Big Data in a Healthcare Cloud Using a Fog Computing Facility With Pairing-Based Cryptography," *IEEE Access*, vol. 5, pp. 22313-22328, 2017.
- [16] J. Xiaoying, H. Debiao, N. Kumar and C. Kim-Kwang Raymond, "Authenticated key agreement scheme for fog driven IoT healthcare system," *Wireless Networks*, pp. 1-14, 2018.
- [17] . I. Maged Hama, "Octopus: An Edge-Fog Mutual Authentication Scheme," *International Journal of Network Security*, vol. 18, pp. 1089-1101, 2016.
- [18] R. Roman, J. Lopez and M. Mambo, "Mobile edge computing, Fog et al.: A survey and analysis of security threats and challenges," *Future Generation Computer Systems*, vol. 78, pp. 680-698, 2018.
- [19] I. Stojmenovic and S. Wen, "The Fog computing paradigm: Scenarios and security issues," in *2014 Federated Conference on Computer Science and Information Systems*, Warsaw, Poland, 2014.
- [20] I. Stojmenovic, S. Wen, X. Huang and H. Luan, "An overview of Fog computing and its security issues," *Concurrency and Computation Practice and Experience*, vol. 28, no. 10, pp. 2991-3005, 2016.
- [21] H. Li, Y. Dai, L. Tian and H. Yang, "Identity-Based Authentication for Cloud Computing," *Lecture Notes in Computer Science book series*, vol. 5931, pp. 157-166, 2009.
- [22] H. Sun, Q. Wen, H. Zhang and Z. Jin, "A novel remote user authentication and key agreement scheme for mobile client-server environment," *Appl. Math.*, vol. 7, no. 4, pp. 1365-1374, 2013.



- [23] H. Li, F. Li, C. Song and Y. Yan, "Towards Smart Card Based Mutual Authentication Schemes in Cloud Computing," *KSI TRANSACTIONS ON INTERNET AND INFORMATION SYSTEMS*, vol. 9, no. 7, pp. 2719-2735, 2015.
- [24] P. Hu, H. Ning, T. Qiu, H. Song, Y. Wang and X. Yao, "Security and Privacy Preservation Scheme of Face Identification and Resolution Framework Using Fog Computing in Internet of Things," *IEEE Internet of Things Journal*, vol. 4, no. 5, pp. 1143 - 1155, 2017.